



"La naturaleza no hace nada incompleto ni nada en vano"

Aristóteles, filósofo griego

El mes de septiembre nos sorprendió con la llegada de un nuevo actor al Laboratorio Vegetal: la

Oxalis rosea.

Una manifestación que nos fascina y anima a seguir atentos, ya que ambas especies -si bien

componen la conformación florar de la variante xerofítica del matorral esclerófilo mediterráneo

costero- aparecieron de forma espontánea y no se han encontrado fuera de los límites del

laboratorio.

Este evento es un potente indicador del éxito de la réplica de formaciones silvestres en espacios

urbanos, pues su aparición corresponde a una asociatividad propia de los pisos.

Queremos agradecer a todos quienes colaboran para hacer realidad este logro: nuestro equipo de

consultores compuesto por Macarena Calvo, Cristóbal Elgueta y Salvador Donghi; Philippe Bordalí y

Gonzalo Undurraga, quienes lideran el proyecto desde Las Salinas y, muy especialmente a Abel Díaz,

nuestro jardinero que día a día cuida el laboratorio.

Atentamente,

Equipo Las Salinas

ÍNDICE DE CONTENIDO

LAB	ORATO	RIO VEGETAL LAS SALINAS
1.	CAPÍTI	ULO I
E	L VIGORO	SO DESPERTAR
	1.1.	INTRODUCCIÓN
	1.2.	OBJETIVOS
	1.2.1.	OBJETIVO GENERAL
	1.2.2.	OBJETIVOS ESPECÍFICOS
	1.3.	METODOLOGÍA
	1.4.	RESULTADOS Y DISCUSIÓN
	1.5.	CONCLUSIÓN2
	1.6.	BIBLIOGRAFÍA2
2.	ANEXO	O 12
		ÍNDICE DE TABLAS
Тав	LA 1: С ов	ERTURAS DETERMINADAS PARA CADA ESPECIE VEGETAL EN CADA UNA DE LAS PARCELAS DE MUESTREO1
Тав	LA 2: VALO	OR DE IMPORTANCIA (VI) POR ESPECIE CENSADA
Тав	LA 3: ÍNDI	CE DE SHANNON-WIEVER OBTENIDO EN CADA PARCELA DURANTE LA PRIMAVERA DEL 20181
Тав	La 4: Par	ÁMETROS CONSIDERADOS EN OTOÑO Y PRIMAVERA DEL 2018 PARA LAS ESPECIES VEGETALES1
Тав	LA 5: E SPE	ECIES VEGETALES QUE CAMBIAN SU DISTRIBUCIÓN ENTRE OTOÑO Y PRIMAVERA DEL 20181
Тав	La 6: Par	ÁMETROS EVALUADOS EN OTOÑO Y PRIMAVERA DEL 2019 EN CADA UNA DE LAS PARCELAS2
Тав	LA 7: DETI	ERMINACIÓN DEL VALOR Qι PARA CÁLCULO DEL ÍNDICE Δ

ÍNDICE DE GRÁFICOS

GRÁFICO 1: VALOR DE IMPORTANCIA (VI) ALCANZADO POR CADA ESPECIE EN OTOÑO Y PRIMAVERA DEL 2018	17
GRÁFICO 2: COBERTURA VEGETAL (M2) ALCANZADA POR CADA ESPECIE EN OTOÑO Y PRIMAVERA DEL 2019	18
GRÁFICO 3: FRECUENCIA CONTROLADA DE CADA ESPECIE DURANTE LAS ESTACIONES DE OTOÑO Y PRIMAVERA DEL 2018	19
GRÁFICO 4: COBERTURA VEGETAL DE CADA PARCELA DE MUESTREO EN OTOÑO Y PRIMAVERA DEL 2018	22
GRÁFICO 5: NÚMERO DE ESPECIES VEGETALES POR PARCELA EN OTOÑO Y PRIMAVERA DEL 2018	22
GRÁFICO 6: ÍNDICE H' POR PARCELA DURANTE OTOÑO Y PRIMAVERA 2018	22
Gráfico 7: Índice J por parcela durante otoño y primavera 2018	22
ÍNDICE DE FOTOGRAFÍAS	
FOTO 1: ERYNGIUM PANICULATUM	28
Foto 2: Sisyrinchium striatum	29
FOTO 3: SOLANUM MARITIMUM	29
Foto 4: Oxalis gigantea	30
FOTO 5: BAHIA AMBROSIOIDES	30
FOTO 6: LOBELIA POLYPHYLLA	31
FOTO 7: HAPLOPAPPUS FOLIOSUS	31
Foto 8: Cistanthe grandiflora	32
Foto 9: Flourencia thurifera	32
Foto 10: Sisyrinchium chilense	33
FOTO 11: LOBELIA EXCELSA	33
Foto 12: Nolana crassulifolia	34
FOTO 13: POLYACHYRUS POPPIGII	34
Foto 14: Stipa caudata	35
FOTO 15: SISYRINCHIUM ARENARIUM	35
FOTO 16: HELIOTROPIUM STENOPHYLLUM	36
FOTO 17: ALSTROEMERIA PELEGRINA	36
FOTO 18: LEUCOCORYNE PURPUREA	37
Foto 19: Cryptocarya alba	37
Foto 20: Fuchsia lycioides	38
FOTO 21: FRANKENIA SALINA	38

FOTO 23: BACCHARIS MACRAEI	39
FOTO 24: NOLANA PULLALLY	40
FOTO 25: OXALIS ROSEA	40
ÍNDICE DE IMÁGENES	
IMAGEN 1: PARCELA N°2	41
IMAGEN 2:PARCELA N°3	42
IMAGEN 3: PARCELA N°4	43
IMAGEN 4: PARCELA N°5	44
IMAGEN 5: PARCELA N°6	45
IMAGEN 6: PARCELA N°7	46
IMAGEN 7: PARCELA N°8	47
IMAGEN 8: PARCELA N°9	48
IMAGEN 9: PARCELA N°10	49
ÍNDICE DE ECUACIONES	
ECUACIÓN 1	
Ecuación 2	7
ECUACIÓN 3	7
ECUACIÓN 4	7
ECUACIÓN 5	8
ECUACIÓN 6	8
ECUACIÓN 7	8
ECUACIÓN 8	11

Informe estado de desarrollo

Periodo Primavera 2018



1. CAPÍTULO I

El vigoroso despertar

Laboratorio Vegetal Las Salinas

Autor: Salvador Donghi R.

1.1. INTRODUCCIÓN

La potencialidad de incorporar las áreas silvestres a los espacios públicos urbanos radica en la oportunidad de promover una planificación basada en la identidad territorial. Esto, como consecuencia provoca la protección de los bienes y servicios presentes en los espacios naturales, promoviendo la sostenibilidad territorial y el aporte a la calidad de vida de la población.

En el caso de las áreas naturales de gran tamaño, se reconoce que ellas proporcionan beneficios específicos por su escala, los que se asocian fundamentalmente al resguardo de la biodiversidad, pero también al resguardo de recursos tan importante como el agua, a través de la protección de la calidad de los acuíferos (Miranda, Reyes, Mashini, Misleh, & Bettancourt, 2015). En términos de la integración de estas áreas, Miranda et al. (2015), propone una estrategia que considera la integración físico estructural del territorio a través de la identificación, no sólo de parches de vegetación sino también de sus corredores con el fin de valorizar la continuidad de estos sistemas y sus funciones, promoviendo la interconexión de parches de alto valor ecológico con el sistema de áreas verdes urbanas y corredores urbanos. Esto debido a que gran parte de los atributos de ellas se mantienen en la medida en que se sostengan las conexiones ecológicas mínimas para asegurar la circulación fluida de las especies a largo plazo y accesibilidad de las personas (Vásquez, 2015). Esta conexión favorecería, por una parte, la reversión de los procesos de degradación de los hábitats naturales y, por otra parte, el aseguramiento de los servicios ecosistémicos que entregan los espacios naturales a la sociedad dentro del proceso de desarrollo territorial.

En este mismo contexto, Araneda & Sierra (2013) plantean que los espacios naturales ofrecen una gran oportunidad de desarrollo ya que al hacerlos parte de la red urbana constituyen espacios para el reconocimiento de los valores naturales del entorno, áreas públicas de interés ciudadano y potencialmente pueden propiciar el desarrollo de programas de interés turístico, que pueden constituir motores que empujan al desarrollo local, ya que las áreas naturales son, en sí, espacios estratégicos por el potencial para el desarrollo sostenible del territorio, pues

concentran múltiples recursos y actividades complementarias al funcionamiento de las grandes

ciudades (Naranjo, 2009).

Por otro lado, cada vez concita más aceptación a nivel mundial que la existencia de áreas verdes

y parques urbanos es un factor de suma importancia en la calidad de vida de las ciudades,

considerando tanto las condiciones del medio ambiente como los niveles de bienestar de la

población (salud, educación, etc.) incluso determinando la capacidad de resiliencia de las

comunidades frente a eventos extremos y en la sustentabilidad de las ciudades (Ahern, 2013).

Por lo tanto, es indispensable lograr integrar la planificación urbana asociada al territorio

geográfico donde ésta se despliega, de manera que el contexto biogeográfico determine los

patrones de ocupación y la construcción social y cultural asociada a los núcleos urbanos (Araneda

& Sierra, 2013). Para ello, es necesario propiciar la asociación del crecimiento urbano y las

estrategias de desarrollo del territorio a la conservación del estado natural del paisaje,

generando y construyendo una imagen urbana acorde a la condición de emplazamiento de la

ciudad y entendiendo al paisaje natural como un patrimonio, para lo cual las áreas silvestres

periurbanas deben estar fielmente representadas al interior de las urbes, de manera que el

reconocimiento de hábitats comunes favorezca su interconexión generando un flujo energético

que potencie los bienes y servicios que las caracterizan.

Lo anterior ha sido unos de los objetivos del Laboratorio Vegetal de Las Salinas (LVLS),

concitar un número de especies vegetales que caracterizan los pisos vegetales costeros de la

región de Valparaíso de manera de generar nodos representativos que permitan articular una

trama que; a través de su articulación ecosistémica provea a la ciudad de bienes y servicios. Sin

embargo, esto conlleva a desarrollar cierto tipo de conocimiento que permita dar cuenta de su

estado evolutivo y así proyectar sus resultados a modelos de forestación silvestre en los espacios

públicos urbanos, lo cual incluye la incorporación de metodología, análisis de resultados y

proposición de índices que permitan cuantificar su identidad ecológica.

A la luz de lo anteriormente expuesto, el presente informe da cuenta del estado de desarrollo del

LVLS mediante la aplicación de la metodología y el índice de crecimiento -ambos propuestos en

el INF-EYP-002- de manera de poder comparar los resultados obtenidos en otoño del 2018 con la

primavera del 2018.

1.2. OBJETIVOS

1.2.1. OBJETIVO GENERAL

Cuantificar el estado del LVLS a través de la aplicación de varios parámetros que permitan evidenciar su desarrollo en el tiempo.

1.2.2. OBJETIVOS ESPECÍFICOS

- 1.2.2.1. Cuantificar el estado de desarrollo del LVLS mediante la aplicación del índice de crecimiento δ .
- 1.2.2.2. Evidenciar los porcentajes de cobertura vegetal alcanzado por todas las especies vegetales que conforman el LVLS desde el otoño a la primavera del 2018.
- 1.2.2.3. Cuantificar el estado de desarrollo mediante la aplicación de índices de biodiversidad.
- 1.2.2.4. Determinar qué parcela de muestreo reúne condiciones de representatividad para utilizarla como patrón de replicación.

1.3. METODOLOGÍA

1.3.1. Metodología de muestreo

El muestreo del LVLS se realizó a través de la realización en las nueve parcelas de muestreo ya

trazada en estudios anteriores. El tamaño de cada una es variable y está especificado para cada

parcela. La identificación de cada especie, como el registro de su distribución espacial en cada

parcela de muestreo equivale al censo, teniendo tantas parcelas de muestreo como censos

realizados.

1.3.2. Registro de abundancia de especies:

Se registran en una tabla la abundancia o cobertura de las especies encontradas en cada una de

las parcelas de muestreo.

1.3.3. Determinación de las áreas de cobertura

Una vez obtenidos los registros de terreno (ANEXO 1) se estaba en condiciones para obtener la

dimensión espacial de las especies vegetales en cada parcela. Para esto se consideraron las

siguientes fases consecutivas:

1.3.4.1. Terreno y planificación del vuelo

Con el uso del drone DJI Phantom 2 Vision Plus y a través de la aplicación "DJI Vision", se logró

planificar y definir la altura de vuelo (i.e. 12 metros) para luego obtener las imágenes de cada

parcela, las cuales fueron definidas, delimitadas y georreferenciadas en todos sus vértices

previamente con el GPS.

1.3.4.2. Orden, selección y corrección de las imágenes

Una vez obtenida la información, se procedió a ordenar y seleccionar las imágenes

correspondientes a cada parcela. Luego, con el software Adobe Photoshop CS6 se corrigió la

distorsión (i.e. "Ojo de pez") de cada imagen a fin de facilitar el procesamiento y su posterior

interpretación.

CAPÍTULO I: El vigoroso despertar

1.3.4.3. Procesamiento de las imágenes

Luego de haber corregido las imágenes, se georreferenciaron en el Sistema de Información

Geográfica ArcMap 10.1 donde se consideraron las coordenadas de cada vértice obtenidas en la

etapa de terreno. Para el cálculo de las medidas de cada polígono, se realizó el proceso de

fotointerpretación y vectorización de cada imagen (i.e. parcelas). Finalmente, a cada polígono

creado se le asignó el nombre de acuerdo con el tipo de especie y su valor en m².

1.3.5. Valor de importancia (VI)

El VI se calculó a partir de la Tabla 1, calculando las frecuencias y las coberturas relativas de cada

especie en todos los censos (Wikum & Shanholtzer G.F., 1978). La frecuencia relativa se obtuvo

sumando las frecuencias absolutas (censos en que están presentes) de todas las especies,

llevando el total obtenido a 100 y determinando el porcentaje de este total que le corresponde a

cada una. Del mismo modo se determinó la cobertura relativa, sumando las coberturas de todas

las especies en los censos en que están presentes, llevando el total a 100 y determinando el

porcentaje que le corresponde a cada especie. Al sumar la frecuencia relativa con la cobertura

relativa de cada especie se obtiene el VI (Tabla 2), cuya máxima expresión sólo puede alcanzar a

2,00.

1.3.6. Determinación de la diversidad biológica del Laboratorio Vegetal ILS

Para la determinación de la diversidad biológica del laboratorio vegetal se utilizó el índice de

Shannon-Wiener ya que este se basa en dos componentes, la riqueza (número de especies) y la

equitatividad (para el caso particular se utilizó el área cubierta por cada especie y no el número de

individuos por especie). Mediante la utilización de este índice se pretende determinar, cuál de las

parcelas censadas alberga el mayor número de especies vegetales distribuidas de forma

equitativa. Dicho índice tiene la siguiente fórmula:

$$H' = \sum_{i=1}^{S} p_i \ln(p_i)$$
 Ecuación 1

Donde:

 p_i : Frecuencia relativa de cada especie

S: Número de especies

El índice H' tenderá al máximo cuando todas las especies tiendan a estar igualmente representadas (Pla, 2006), lo que se puede expresar como:

$$H'max = ln_2S$$
 Ecuación 2

A partir de la ecuación anterior será posible calcular el índice de equitabilidad o proporcionalidad, siendo el más utilizado el índice de Pielou (1969):

$$J' = \frac{H'}{\ln_2 S}$$
 Ecuación 3

Lo que en definitiva es igual a:

$$J' = \frac{H'}{H'max}$$
 Ecuación 4

El índice J' tendrá valores que oscilarán entre 0 y 1, donde el valor 1 indicará que la biodiversidad de la comunidad en estudio es máxima, es decir la comunidad vegetal es muy heterogénea y cada una de las especies que la componen está igualmente representada. En caso contrario, si el valor se aproxima a 0, significará que la comunidad tiene una especie muy dominante que la caracteriza, lo cual no es característico del piso vegetacional con que se está trabajando.

1.3.7. Indicador de crecimiento

En base a los resultados obtenidos es posible desarrollar un indicador de crecimiento que pueda reflejar en el tiempo el estado de desarrollo del laboratorio vegetal considerando la cobertura alcanzada por cada parcela censada y la abundancia de especies (*S*) presentes.

Es fundamental que este polinomio incorpore una variable que dé cuenta de la riqueza de especies ponderando la mayor biodiversidad, lo cual se desarrolla a continuación con las siguientes fórmulas:

$$q_i = \frac{m^2 P_i}{m^2 \ totales P_c}$$
 Ecuación 5

Donde:

 $m^2 P_i$ = m^2 de cobertura vegetal total de cada parcela i descrita.

 $m^2 totales P_c = m^2$ se superficie total de las parcelas censadas.

$$\sum_{i=1}^{n} q_i = (q_i + q_{i+1} + q_{i+2} + \dots + q_n)$$
 Ecuación 6

Por lo tanto, el q_i tendrá la siguiente fórmula:

De este modo, el indicador δ estará dado por;

$$\delta = \left[\sum_{i=1}^{n} q_i\right] \kappa$$
 Ecuación 7

Siendo:

 $\kappa = \frac{S}{S'}$; Cociente entre S (número de especies presentes) y el S' proyectado (número de especies totales consideradas en el laboratorio).

CAPÍTULO I: El vigoroso despertar

1.4. RESULTADOS Y DISCUSIÓN

El control efectuado en la primavera del 2018 (Tabla 1) se realizó a partir de la

determinación de las áreas de cobertura que cada una de las especies vegetales presentaba en las

parcelas de muestro a través del proceso de fotointerpretación y vectorización de imágenes

(Imagen 1, Imagen 2, Imagen 3, Imagen 4, Imagen 5, Imagen 5, Imagen 6, Imagen 7, Imagen 8 e

Imagen 9).

Los resultados muestran un alza en la mayoría de los Valores de Importancia (VI) para cada

especie respecto a los alcanzados durante el otoño del mismo año. En estos destaca Nolana

pullally con el VI más alto seguido por Stipa caudata, Eryngium paniculatum, Haplopappus foliosus

y Baccharis macraei, lo cual coincide con los VI alcanzados durante el otoño del 2018 (Gráfico 1),

excepto para Stipa caudata que era la especie con el mayor VI. Al respecto cabe destacar que las

cinco especies mencionadas aumentan su VI debido al aumento de sus coberturas vegetales y no

por un aumento del número de especies respecto al censo total de las parcelas involucradas.

Si bien, existe un aumento de todas las coberturas vegetales, exceptuando Stipa

caudata y en menor medida Sisyrinchium chilensis (Gráfico 2), la baja incidencia en los VI se debe

a que este valor corresponde a la suma de las frecuencias relativas de las especies más la

cobertura vegetal relativa de la mismas, por lo que los valores de cada especie están en referencia

al resto. Esto explica por qué especies como Polyachyrus poppigii, Cistanthe grandiflora,

Alstroemeria pelegrina y Heliotropium stenophyllum fueron las que más aumentaron sus

coberturas respecto a ellas mismas, sin embargo, tienen VI que apenas sobrepasan el segundo

quintil.

El Gráfico 3 muestra que especies como Frankenia salina, Fuchsia lycioides, Lobelia

excelsa y Sisyrinchium chilense aumentaron su frecuencia debido a que están presentes en

parcelas que durante el control de otoño no lo estuvieron según se detalla en la Tabla 5, sin

embargo, la misma tabla muestra para el control de primavera que especies como; Cryptocarya

alba, Lobelia polyphylla, Sisyrinchium striatum y Solanum maritimum pierden frecuencia.

Si bien existe una variación en la frecuencia de las especies respecto a los controles

hechos en otoño y primavera del 2018, lo cual altera el número de especies por parcela (Gráfico

5), no deja de ser relevante que la cobertura aumentó de 116,65 m² a 245,75 m² en el mismo

período, lo que se traduce en un aumento de 129 m² siendo Nolana pullally, Haplopappus foliosus

y *Nolana crassulifolia* las que más aumentaron sus coberturas en 18,5 m², 11,6 m² y 10,6 m²

respectivamente.

El aumento en las coberturas vegetales generó como consecuencia que todas las parcelas

presentaran aumentos en sus porcentajes de ocupación. La Tabla 6 muestra en las columnas

correspondientes a; m² cobertura vegetal/parcela/estación un aumento en todas las parcelas de

muestreo, lo cual se evidencia más claramente en el Gráfico 4, siendo las parcelas P-5 y P-10 las

que mayor cobertura alcanzaron, con crecimientos de 11,35 m² y 10,18 m² respectivamente. Sin

embargo, la parcela que tiene el mayor porcentaje de cobertura es la P-4 (74,5%, Tabla 1), donde

Nolana pullally y Nolana crassulifolia contribuyen con un 54,3% de la cobertura.

El aumento de la cobertura vegetal en un 47% permitió también elevar la biodiversidad

de cada una de las parcelas de muestreo, donde el mayor aumento lo registró la parcela P-7,

subiendo su índice H' de 2,65 a 3,01 (Gráfico 6). Otras parcelas con significativos aumentos de sus

índice H' -aunque menores- fueron P-3 que subió de 2,41 a 2,89 y P-9 se subió de 2,86 a 3,26

(Tabla 6).

La única parcela que disminuyó su índice H' fue la parcela P-5, esto debido al significativo

aumento de las coberturas vegetales de; Eryngium paniculatum, Nolana pullally, Solanum

maritimum y Stipa caudata, las cuales en conjunto alcanzan al 68,13% al interior de P-5. Esto

provoca una inequidad en la frecuencia de las especies presentes en la parcela, debido a la sobre

representación de estas cuatro especies, lo cual se ve reflejada en el índice H'.

El aumento del índice de biodiversidad en cada una de las parcelas censadas -a excepción de P-5-

se produce por un aumento sostenido de las coberturas vegetales de las especies que la

conforman, las cuales han ido alcanzando tamaños relativamente similares, provocando en

definitiva una representación uniforme de las especies que la componen.

CAPÍTULO I: El vigoroso despertar

La equidad espacial de las coberturas vegetales en las parcelas de muestreo (Tabla 6) ha sido la causa por lo cual todas las parcelas aumentaron su índice de equidad (J') a excepción de P-2 (que disminuye) y P-5 (se mantiene igual). El Gráfico 7 muestra que los valores más altos de este índice están en P-9, P-8 y P-3, sin embargo, el mayor aumento de este índice se produce en P-7, subiendo de 0,65 en otoño a 0,81 en primavera.

A partir de los resultados anteriores se calculó el índice de crecimiento para el período de primavera 2018, el cual mostró un incremento debido al aumento de las coberturas vegetales en cada parcela de muestreo y por la aparición de *Oxalis rosea* -especie endémica de la zona central perteneciente a la familia de las *Oxalidacae*- lo cual aumentó el número de especies nativas en una unidad (de 26 a 27 especies) presentes en el LVLS.

De este modo, a partir de la Tabla 7 el valor del índice δ según la Ecuación 8 es:

$$\delta = (0,6514) * \frac{27}{26}$$
 $\delta = (0,6515) * 1,0385$
 $\delta = \mathbf{0},6765$
Ecuación 8

El aumento del índice δ de 0,4202 en otoño a 0,6765 representa un incremento del 61%.

INF-EYP-003 - Informe estado de desarrollo

Laboratorio Vegetal Las Salinas

CAPÍTULO I: El vigoroso despertar

Tabla 1: Coberturas determinadas para cada especie vegetal en cada una de las parcelas de muestreo

				LABORATO	ORIO VEGET	AL LAS SAL	INAS				
			P-2	P-3	P-4	P-5	P-6	P-7	P-8	P-9	P-10
		Fecha	14/11/18	14/11/18	14/11/18	14/11/18	14/11/18	14/11/18	14/11/18	14/11/18	14/11/18
		Hora	11:55:00	12:11:00	12:27:00	12:45:00	12:57:00	13:13:00	13:27:00	13:44:00	14:05:00
		m² Parc	41,89	40,68	41,46	40,56	41,03	42,35	42,00	44,79	42,47
		Total, Cbtra	27,58	24,42	30,89	29,83	26,13	27,42	26,42	25,77	27,28
		% Cbtra	65,8%	60,0%	74,5%	73,5%	63,7%	64,8%	62,9%	57,5%	64,2%
		% S/Cbtra	34,2%	40,0%	25,5%	26,5%	36,3%	35,2%	37,1%	42,5%	35,8%
N°	N. Científico		m²	m²	m²	m²	m²	m²	m²	m²	m²
1	Alstroemeria pelegrina	Foto 17	0,49	0,00	0,38	0,00	0,00	0,00	0,63	0,00	0,49
2	Baccharis macraei	Foto 23	1,81	0,00	1,58	2,27	0,70	0,64	4,46	0,72	0,92
3	Bahia ambrosioides	Foto 5	0,00	2,73	0,00	0,88	0,58	0,26	0,82	3,91	1,72
4	Cistanthe grandiflora	Foto 8	1,67	0,00	0,00	0,00	0,00	0,00	0,00	0,00	0,00
5	Cryptocarya alba	<u>Foto 19</u>	0,00	0,00	0,00	0,02	0,00	0,00	0,17	0,00	0,00
6	Eryngium paniculatum	Foto 1	0,00	1,98	2,62	3,43	1,23	4,22	1,53	4,49	4,97
7	Escallonia pulvurulenta	Foto 22	0,00	0,00	1,60	0,42	0,00	0,00	0,28	0,00	0,00
8	Flourencia thurifera	Foto 9	0,00	0,00	0,00	1,15	1,39	0,00	0,00	0,00	0,62
9	Frankenia salina	<u>Foto 21</u>	0,00	0,70	0,31	0,55	0,32	0,65	1,26	2,39	0,00
10	Fuchsia lycioides	<u>Foto 20</u>	0,00	0,00	0,08	0,00	0,29	0,00	0,24	0,00	0,00
11	Haplopappus foliosus	Foto 7	1,95	6,28	0,00	2,40	1,89	1,41	0,00	2,41	3,90
12	Heliotropium stenophyllum	<u>Foto 16</u>	0,00	0,00	0,00	0,00	0,00	1,70	0,00	1,48	0,00
13	Leucocoryne coquimbensis	<u>Foto 18</u>	0,00	0,00	0,00	0,00	0,00	0,00	0,00	0,00	0,00
14	Lobelia excelsa	<u>Foto 11</u>	0,00	0,00	1,21	0,00	1,23	1,80	1,17	0,00	0,00
15	Lobelia polyphylla	Foto 6	0,00	0,00	0,45	0,00	0,00	0,00	0,00	0,00	0,00
16	Nolana crassulifolia	<u>Foto 12</u>	4,28	0,00	8,68	0,00	4,28	0,00	0,00	2,38	0,00
17	Nolana pullally	Foto 24	10,88	3,36	8,09	10,61	2,45	6,03	5,08	0,47	0,87
18	Oxalis gigantea	Foto 4	0,53	0,98	0,00	0,00	0,00	0,00	1,36	0,00	0,77
19	Polyachyrus poppigii	<u>Foto 13</u>	0,00	0,00	0,00	0,00	0,00	0,00	0,61	0,00	0,00
20	Puya sp		0,04	0,00	0,38	0,00	0,00	0,00	0,00	0,13	0,08
21	Schinus latifolius		0,61	0,62	0,00	1,12	0,00	1,45	1,10	0,27	0,00
22	Sisyrinchium arenarium	<u>Foto 15</u>	0,00	0,28	0,00	0,00	0,00	0,00	0,19	0,00	0,43
23	Sisyrinchium chilense	<u>Foto 10</u>	0,00	0,00	0,34	0,15	0,16	0,16	0,99	0,09	0,00
24	Sisyrinchium striatum	Foto 2	0,00	1,24	0,00	0,25	0,00	0,67	0,00	0,59	7,49
25	Solanum maritimum	Foto 3	4,31	0,36	1,24	3,69	3,09	0,71	1,46	1,68	0,00
26	Stipa caudata	Foto 14	1,00	5,88	3,94	2,88	8,52	7,73	5,06	4,76	5,01

INF-EYP-003 - Informe estado de desarrollo

Laboratorio Vegetal Las Salinas

CAPÍTULO I: El vigoroso despertar
Tabla 2: Valor de importancia (VI) por especie censada

N°	N. Científico	∑ m²	f	%f	f relat	cobs abs	cobs relat	V.I.
1	Alstroemeria pelegrina	1,99	4	44,4%	0,03361	1,99	0,0081	0,0417
2	Baccharis macraei	13,10	8	88,9%	0,06723	13,10	0,0533	0,1205
3	Bahia ambrosioides	10,90	7	77,8%	0,05882	10,90	0,0444	0,1032
4	Cistanthe grandiflora	1,67	1	11,1%	0,00840	1,67	0,0068	0,0152
5	Cryptocarya alba	0,19	2	22,2%	0,01681	0,19	0,0008	0,0176
6	Eryngium paniculatum	24,47	8	88,9%	0,06723	24,47	0,0996	0,1668
7	Escallonia pulvurulenta	2,31	3	33,3%	0,02521	2,31	0,0094	0,0346
8	Flourencia thurifera	3,16	3	33,3%	0,02521	3,16	0,0128	0,0381
9	Frankenia salina	6,17	7	77,8%	0,05882	6,17	0,0251	0,0839
10	Fuchsia lycioides	0,61	3	33,3%	0,02521	0,61	0,0025	0,0277
11	Haplopappus foliosus	20,25	7	77,8%	0,05882	20,25	0,0824	0,1412
12	Heliotropium stenophyllum	3,18	2	22,2%	0,01681	3,18	0,0129	0,0298
13	Leucocoryne coquimbensis	0,00	0	0,0%	0,00000	0,00	0,0000	0,0000
14	Lobelia excelsa	5,41	4	44,4%	0,03361	5,41	0,0220	0,0556
15	Lobelia polyphylla	0,45	1	11,1%	0,00840	0,45	0,0018	0,0102
16	Nolana crassulifolia	19,62	4	44,4%	0,03361	19,62	0,0798	0,1134
17	Nolana pullally	47,85	9	100,0%	0,07563	47,85	0,1947	0,2703
18	Oxalis gigantea	3,65	4	44,4%	0,03361	3,65	0,0149	0,0485
19	Polyachyrus poppigii	0,61	1	11,1%	0,00840	0,61	0,0025	0,0109
20	Puya sp	0,64	4	44,4%	0,03361	0,64	0,0026	0,0362
21	Schinus latifolius	5,17	6	66,7%	0,05042	5,17	0,0210	0,0714
22	Sisyrinchium arenarium	0,91	3	33,3%	0,02521	0,91	0,0037	0,0289
23	Sisyrinchium chilense	1,90	6	66,7%	0,05042	1,90	0,0077	0,0581
24	Sisyrinchium striatum	10,25	5	55,6%	0,04202	10,25	0,0417	0,0837
25	Solanum maritimum	16,53	8	88,9%	0,06723	16,53	0,0673	0,1345
26	Stipa caudata	44,77	9	100,0%	0,07563	44,77	0,1822	0,2578

Laboratorio Vegetal Las Salinas

CAPÍTULO I: El vigoroso despertar

Tahla 3: Índice de Shannon-Wiever obtenido en cada parcela durante la primavera del 2018

7 0101	3 31 11 31 32 31 31 31 11 1 1 1 1 1 1 1	ever obtenido en cada parcela durante la primavera del 2018 LABORATORIO VEGETAL LAS SALINAS																	
		P-2		Р	-3	P	- 4		-5		-6		-7	F	P-8	Р	-9	P-	-10
N°	N. científico	m ²	pi*log2 (pi)	m ²	pi*log2 (pi)	m ²	pi*log2 (pi)	m ²	pi*log2 (pi)	m ²	pi*log2 (pi)	m ²	pi*log2 (pi)	m²	pi*log2 (pi)	m ²	pi*log2 (pi)	m ²	pi*log2 (pi)
1	Alstroemeria pelegrina	0,49	-0,10	0,00	0,00	0,38	-0,08	0,00	0,00	0,00	0,00	0,00	0,00	0,63	-0,13	0,00	0,00	0,49	-0,10
2	Baccharis macraei	1,81	-0,26	0,00	0,00	1,58	-0,22	2,27	-0,28	0,70	-0,14	0,64	-0,13	4,46	-0,43	0,72	-0,14	0,92	-0,17
3	Bahia ambrosioides	0,00	0,00	2,73	-0,35	0,00	0,00	0,88	-0,15	0,58	-0,12	0,26	-0,06	0,82	-0,16	3,91	-0,41	1,72	-0,25
4	Cistanthe grandiflora	1,67	-0,25	0,00	0,00	0,00	0,00	0,00	0,00	0,00	0,00	0,00	0,00	0,00	0,00	0,00	0,00	0,00	0,00
5	Cryptocarya alba	0,00	0,00	0,00	0,00	0,00	0,00	0,02	-0,01	0,00	0,00	0,00	0,00	0,17	-0,05	0,00	0,00	0,00	0,00
6	Eryngium paniculatum	0,00	0,00	1,98	-0,29	2,62	-0,30	3,43	-0,36	1,23	-0,21	4,22	-0,42	1,53	-0,24	4,49	-0,44	4,97	-0,45
7	Escallonia pulvurulenta	0,00	0,00	0,00	0,00	1,60	-0,22	0,42	-0,09	0,00	0,00	0,00	0,00	0,28	-0,07	0,00	0,00	0,00	0,00
8	Flourencia thurifera	0,00	0,00	0,00	0,00	0,00	0,00	1,15	-0,18	1,39	-0,23	0,00	0,00	0,00	0,00	0,00	0,00	0,62	-0,12
9	Frankenia salina	0,00	0,00	0,70	-0,15	0,31	-0,07	0,55	-0,11	0,32	-0,08	0,65	-0,13	1,26	-0,21	2,39	-0,32	0,00	0,00
10	Fuchsia lycioides	0,00	0,00	0,00	0,00	0,08	-0,02	0,00	0,00	0,29	-0,07	0,00	0,00	0,24	-0,06	0,00	0,00	0,00	0,00
11	Haplopappus foliosus	1,95	-0,27	6,28	-0,50	0,00	0,00	2,40	-0,29	1,89	-0,27	1,41	-0,22	0,00	0,00	2,41	-0,32	3,90	-0,40
12	Heliotropium stenophyllum	0,00	0,00	0,00	0,00	0,00	0,00	0,00	0,00	0,00	0,00	1,70	-0,25	0,00	0,00	1,48	-0,24	0,00	0,00
13	Leucocoryne coquimbensis	0,00	0,00	0,00	0,00	0,00	0,00	0,00	0,00	0,00	0,00	0,00	0,00	0,00	0,00	0,00	0,00	0,00	0,00
14	Lobelia excelsa	0,00	0,00	0,00	0,00	1,21	-0,18	0,00	0,00	1,23	-0,21	1,80	-0,26	1,17	-0,20	0,00	0,00	0,00	0,00
15	Lobelia polyphylla	0,00	0,00	0,00	0,00	0,45	-0,09	0,00	0,00	0,00	0,00	0,00	0,00	0,00	0,00	0,00	0,00	0,00	0,00
16	Nolana crassulifolia	4,28	-0,42	0,00	0,00	8,68	-0,51	0,00	0,00	4,28	-0,43	0,00	0,00	0,00	0,00	2,38	-0,32	0,00	0,00
17	Nolana pullally	10,88	-0,53	3,36	-0,39	8,09	-0,51	10,61	-0,53	2,45	-0,32	6,03	-0,48	5,08	-0,46	0,47	-0,10	0,87	-0,16
18	Oxalis gigantea	0,53	-0,11	0,98	-0,19	0,00	0,00	0,00	0,00	0,00	0,00	0,00	0,00	1,36	-0,22	0,00	0,00	0,77	-0,15
19	Polyachyrus poppigii	0,00	0,00	0,00	0,00	0,00	0,00	0,00	0,00	0,00	0,00	0,00	0,00	0,61	-0,12	0,00	0,00	0,00	0,00
20	Puya sp	0,04	-0,01	0,00	0,00	0,38	-0,08	0,00	0,00	0,00	0,00	0,00	0,00	0,00	0,00	0,13	-0,04	0,08	-0,03
21	Schinus latifolius	0,61	-0,12	0,62	-0,13	0,00	0,00	1,12	-0,18	0,00	0,00	1,45	-0,22	1,10	-0,19	0,27	-0,07	0,00	0,00
22	Sisyrinchium arenarium	0,00	0,00	0,28	-0,07	0,00	0,00	0,00	0,00	0,00	0,00	0,00	0,00	0,19	-0,05	0,00	0,00	0,43	-0,09
23	Sisyrinchium chilense	0,00	0,00	0,00	0,00	0,34	-0,07	0,15	-0,04	0,16	-0,05	0,16	-0,04	0,99	-0,18	0,09	-0,03	0,00	0,00
24	Sisyrinchium striatum	0,00	0,00	1,24	-0,22	0,00	0,00	0,25	-0,06	0,00	0,00	0,67	-0,13	0,00	0,00	0,59	-0,12	7,49	-0,51
25	Solanum maritimum	4,31	-0,42	0,36	-0,09	1,24	-0,19	3,69	-0,37	3,09	-0,36	0,71	-0,14	1,46	-0,23	1,68	-0,26	0,00	0,00
26	Stipa caudata	1,00	-0,17	5,88	-0,49	3,94	-0,38	2,88	-0,33	8,52	-0,53	7,73	-0,51	5,06	-0,46	4,76	-0,45	5,01	-0,45
	ni N			2.4	10	2.0		20		2.5	1.2		40			2.5		27	
			,58		,42		,89		,83	26			,42		5,42		,77		,28
			.1		11		14		14		3		.3		17		4		12
	H'	~~~~~	,66	~~~~~	,89		,92	~~~~~	,97		01	~~~~~	,99	~~~~~	,45	~~~~~	,26	~~~~~	,88
	H'max		46	~~~~	46	~~~~	.81	~~~~	81	3,	~~~~~	~~~~	70	4	,09	~~~~~	81	~~~~	,58
	J	-0,	,77	-0	,84	-0	,77	-0	,78	-0,	81	-0	,81	-0	,85	-0	,86	-0	,80

INF-EYP-003 - Informe estado de desarrollo

Laboratorio Vegetal Las Salinas

CAPÍTULO I: El vigoroso despertar

Tabla 4: Parámetros considerados en otoño y primavera del 2018 para las especies vegetales

810	N. Ciantífica	VI / especie	/ estación	cobrtra vegetal /	especie / estación	Frecuencia / especie / estación		
N°	N. Científico	VI-OTO-2018	VI-PRI-2018	CBT_OTO-2018	COB_PRI-2018	N_OTO-2018	N_PRI-2018	
1	Alstroemeria pelegrina	0,03611	0,04172	0,510	1,991	4	4	
2	Baccharis macraei	0,11179182	0,12053431	7,6337	13,1002	8	8	
3	Bahia ambrosioides	0,08321944	0,10318436	4,2397	10,9016	7	7	
4	Cistanthe grandiflora	0,01056067	0,01520444	0,3838	1,6713	1	1	
5	Cryptocarya alba	0,03393099	0,01757409	0,1459	0,1886	4	2	
6	Eryngium paniculatum	0,17493442	0,16681294	18,1865	24,4730	8	8	
7	Escallonia pulvurulenta	0,03522468	0,03459327	1,7433	2,3059	3	3	
8	Flourencia thurifera	0,03209219	0,03805446	1,2198	3,1565	3	3	
9	Frankenia salina	0,07334392	0,08393183	3,9705	6,1703	6	7	
10	Fuchsia lycioides	0,01988012	0,02771214	0,5601	0,6149	2	3	
11	Haplopappus foliosus	0,10988807	0,14124439	8,6967	20,2547	7	7	
12	Heliotropium stenophyllum	0,02201172	0,02975164	0,9163	3,1812	2	2	
13	Leucocoryne coquimbensis	0	0	0,0000	0,0000	0	0	
14	Lobelia excelsa	0,03301886	0,05561314	1,3747	5,4064	3	4	
15	Lobelia polyphylla	0,01811433	0,01021486	0,7350	0,4452	2	1	
16	Nolana crassulifolia	0,08674512	0,11343513	8,9726	19,6160	4	4	
17	Nolana pullally	0,25019501	0,27033261	29,3834	47,8476	9	9	
18	Oxalis gigantea	0,04415466	0,0484796	1,8546	3,6533	4	4	
19	Polyachyrus poppigii	0,00876675	0,01086596	0,0839	0,6052	1	1	
20	Puya sp	0,03650869	0,03622105	0,5767	0,6408	4	4	
21	Schinus latifolius	0,0796764	0,0714482	5,0288	5,1676	6	6	
22	Sisyrinchium arenarium	0,02843765	0,02889686	0,6091	0,9060	3	3	
23	Sisyrinchium chilense	0,05281945	0,05813866	1,9215	1,8968	5	6	
24	Sisyrinchium striatum	0,0712932	0,08371445	3,6277	10,2471	6	5	
25	Solanum maritimum	0,12727479	0,1344987	8,8401	16,5319	9	8	
	Stipa caudata	0.40890848	0.25782707	55,9086	44,7744	9	9	

INF-EYP-003 - Informe estado de desarrollo

Laboratorio Vegetal Las Salinas

CAPÍTULO I: El vigoroso despertar

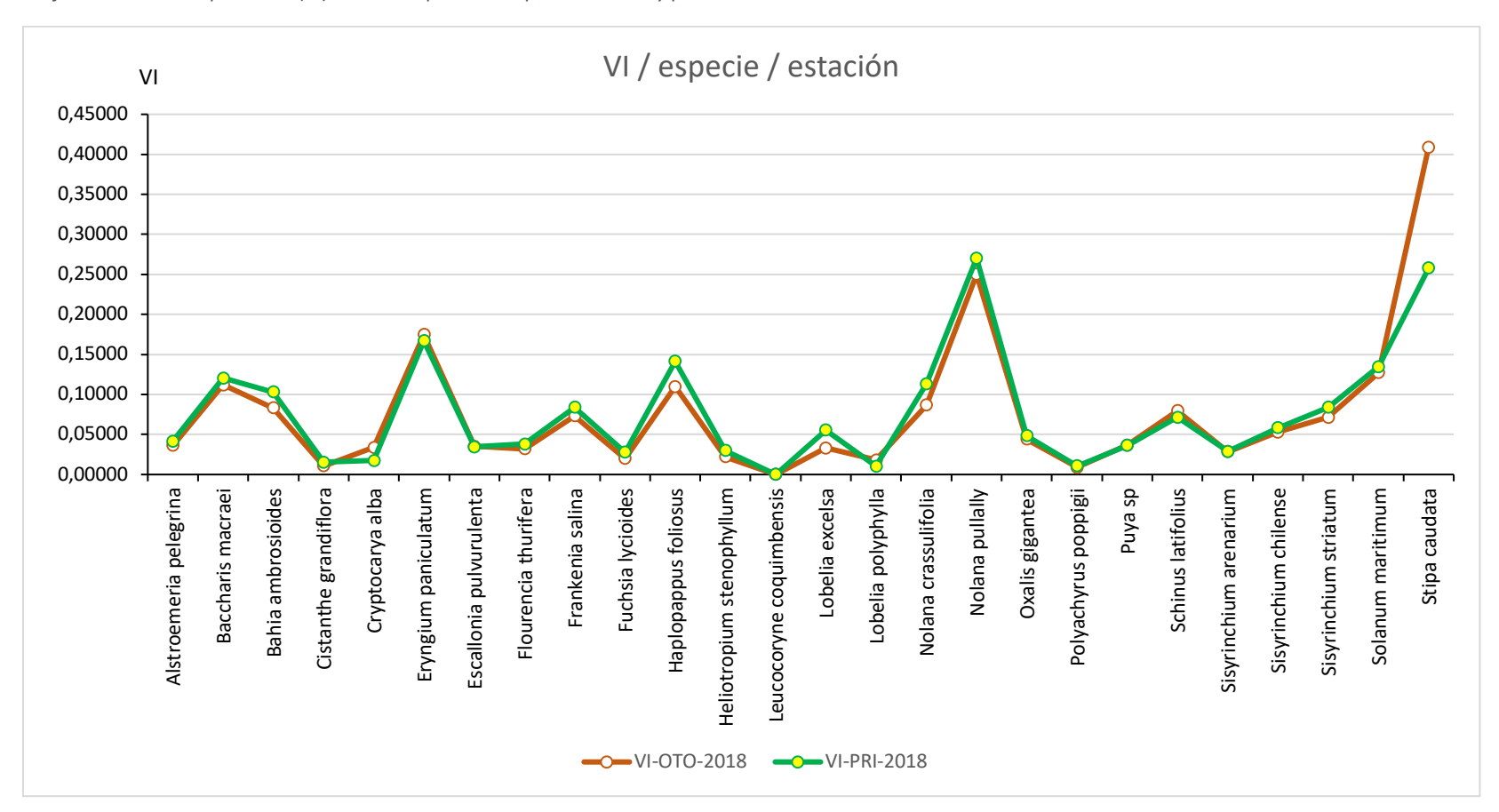
Tabla 5: Especies vegetales que cambian su distribución entre otoño y primavera del 2018

		P-2	P-3	P-4	P-5	P-6	P-7	P-8	P-9	P-10
Cryptocarya alba	OTO-2018									
Cryptocarya aiba	PRI-2018									
Frankenia salina	OTO-2018									
Frankenia Saima	PRI-2018									
Fuchsia lycioides	OTO-2018									
ruciisia iycioides	PRI-2018									
Lobelia excelsa	OTO-2018									
Lobella excelsa	PRI-2018									
Lobelia polyphylla	OTO-2018									
совена рогурнуна	PRI-2018									
Sisyrinchium chilense	OTO-2018									
3isymicinum cimense	PRI-2018									
Sisyrinchium striatum	OTO-2018									
Jisyilliciliulli stilatulli	PRI-2018									
Solanum maritimum	OTO-2018									
30iaiiuiii illalitiillulli	PRI-2018									

INF-EYP-003 - Informe estado de desarrollo

Laboratorio Vegetal Las Salinas CAPÍTULO I: El vigoroso despertar

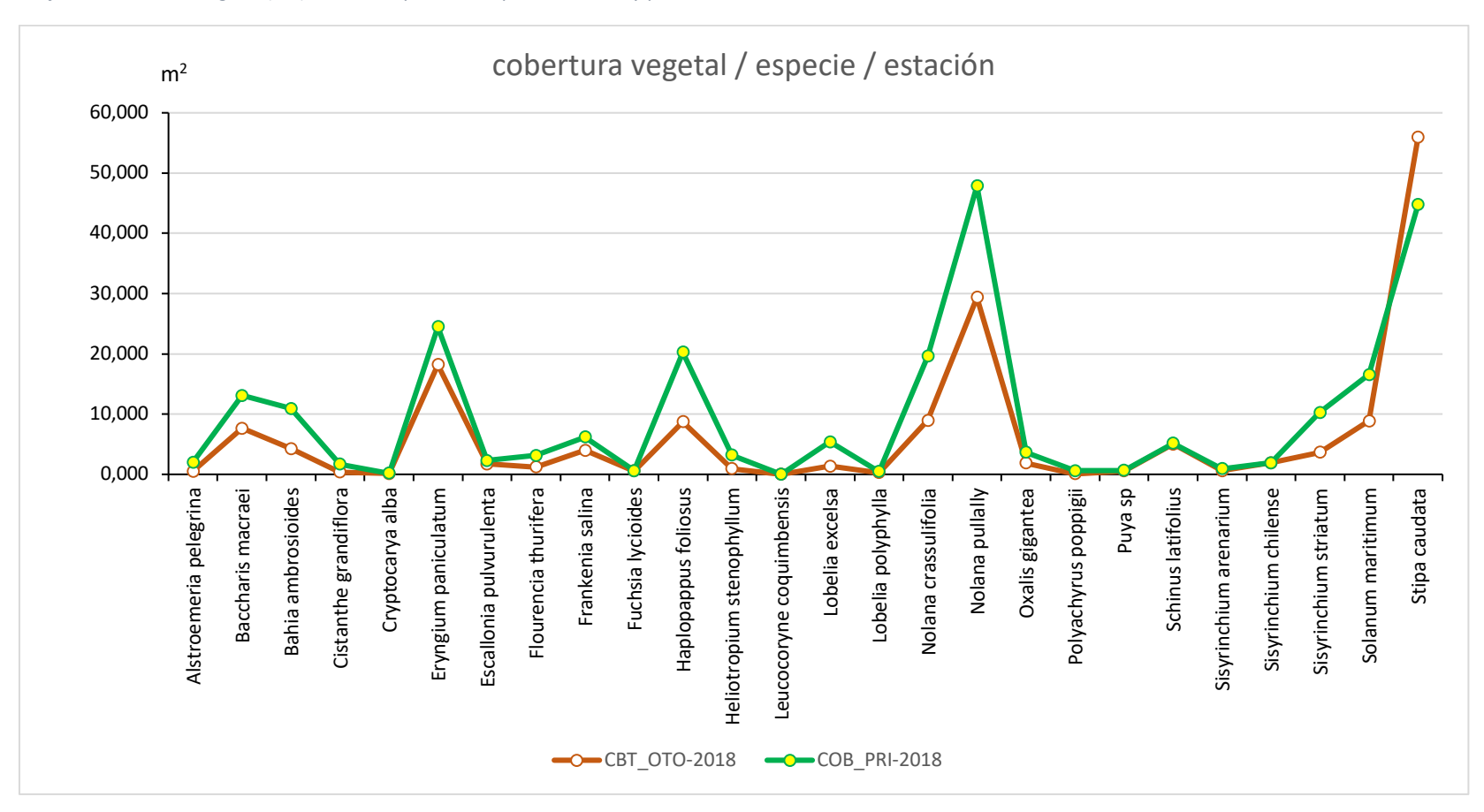
Gráfico 1: Valor de Importancia (VI) alcanzado por cada especie en otoño y primavera del 2018



INF-EYP-003 - Informe estado de desarrollo

Laboratorio Vegetal Las Salinas CAPÍTULO I: El vigoroso despertar

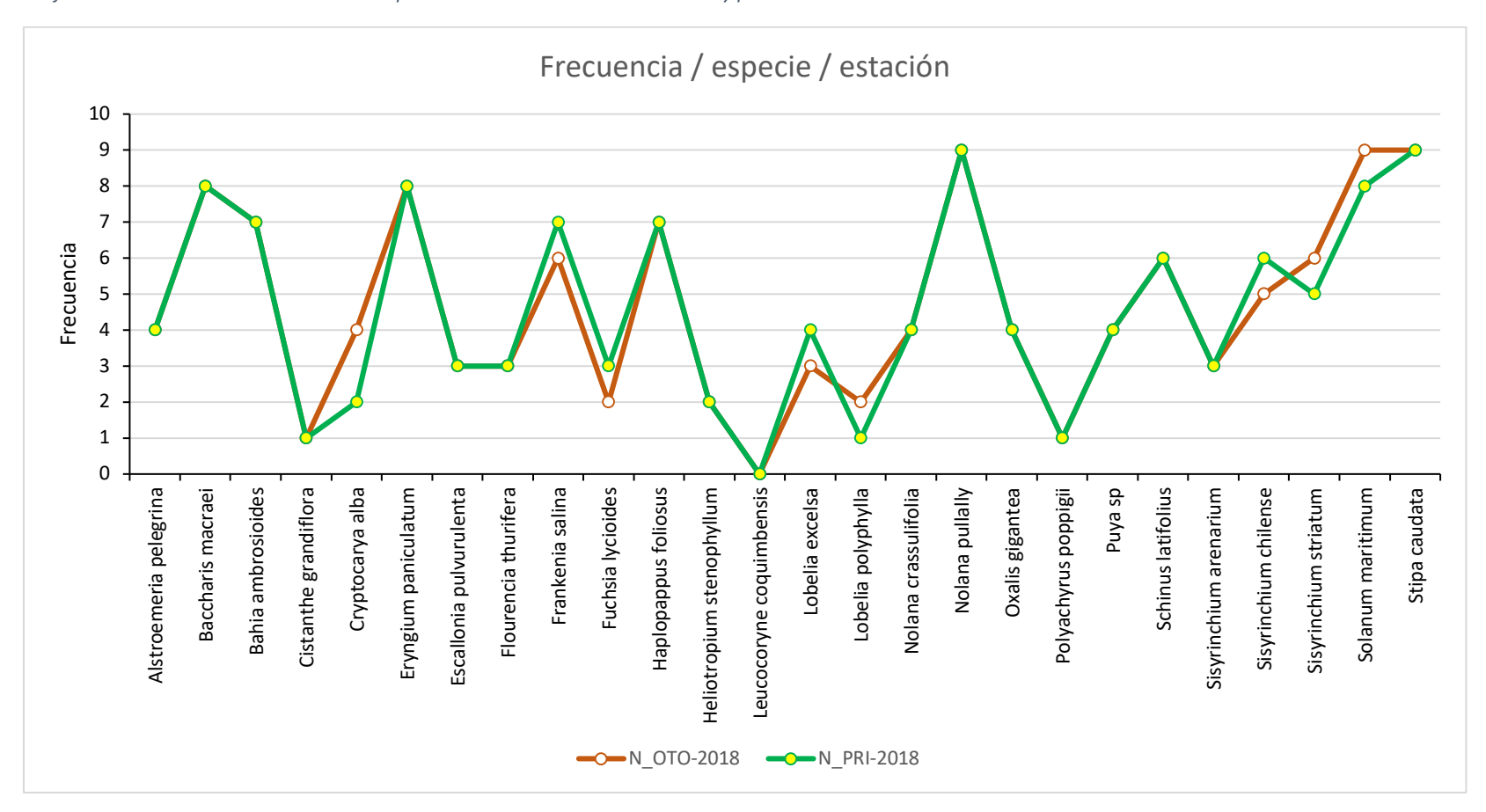
Gráfico 2: Cobertura vegetal (m2) alcanzada por cada especie en otoño y primavera del 2018



INF-EYP-003 - Informe estado de desarrollo

Laboratorio Vegetal Las Salinas CAPÍTULO I: El vigoroso despertar

Gráfico 3: Frecuencia controlada de cada especie durante las estaciones de otoño y primavera del 2018



Laboratorio Vegetal Las Salinas CAPÍTULO I: El vigoroso despertar

Tabla 6: Parámetros evaluados en otoño y primavera del 2018 en cada una de las parcelas

		m² cobertura vegetal / parcela / estación		N vegetal / parcela / estación		H' / parcela / estación		ela / estación	J / parcela / estación	
	ni_OTO-2018	ni_PRI-2018	N_OTO-2018	N_PRI-2018	Н'_ОТО-2018	H'_PRI-2018	H'max_OTO-2018	H'max_PRI-2018	J_OTO-2018	J_PRI-2018
	M ²	M²	N	N	H'	H'	H' _{max}	H' _{max}	J	J
P-2	18,04	27,58	10,00	11,00	2,65	2,66	3,32	3,46	0,80	0,77
P-3	18,97	24,42	9,00	11,00	2,41	2,89	3,17	3,46	0,76	0,84
P-4	21,60	30,89	14,00	14,00	2,85	2,92	3,81	3,81	0,75	0,77
P-5	18,48	29,83	15,00	14,00	3,07	2,97	3,91	3,81	0,78	0,78
P-6	16,32	26,13	14,00	13,00	2,65	3,01	3,81	3,70	0,69	0,81
P-7	20,44	27,42	13,00	13,00	2,39	2,99	3,70	3,70	0,65	0,81
P-8	18,71	26,42	19,00	17,00	3,16	3,45	4,25	4,09	0,74	0,85
P-9	17,46	25,77	14,00	14,00	2,86	3,26	3,81	3,81	0,75	0,86
P-10	17,10	27,28	13,00	12,00	2,72	2,88	3,70	3,58	0,73	0,80

Laboratorio Vegetal Las Salinas CAPÍTULO I: El vigoroso despertar

Tabla 7: Determinación del valor q_i para cálculo del índice δ

Parcelas censadas	m² cbtra vegetal	m² totales / Parcelas	q i
P-2	27,58	41,89	0,0731
P-3	24,42	40,68	0,0647
P-4	30,89	41,46	0,0819
P-5	29,83	40,56	0,0791
P-6	26,13	41,03	0,0693
P-7	27,42	42,35	0,0727
P-8	26,42	42,00	0,0700
P-9	25,77	44,79	0,0683
P-10	27,28	42,47	0,0723
TOTAL	245,75	377,23	0,6515

Laboratorio Vegetal Las Salinas

CAPÍTULO I: El vigoroso despertar

Gráfico 4: Cobertura vegetal de cada parcela de muestreo en otoño y primavera Gráfico 5: Núm. del 2018 2018

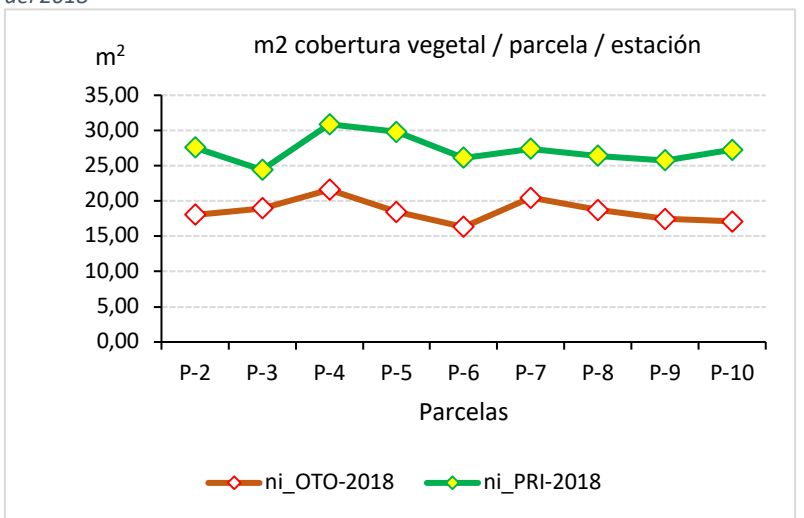


Gráfico 6: Índice H' por parcela durante otoño y primavera 2018

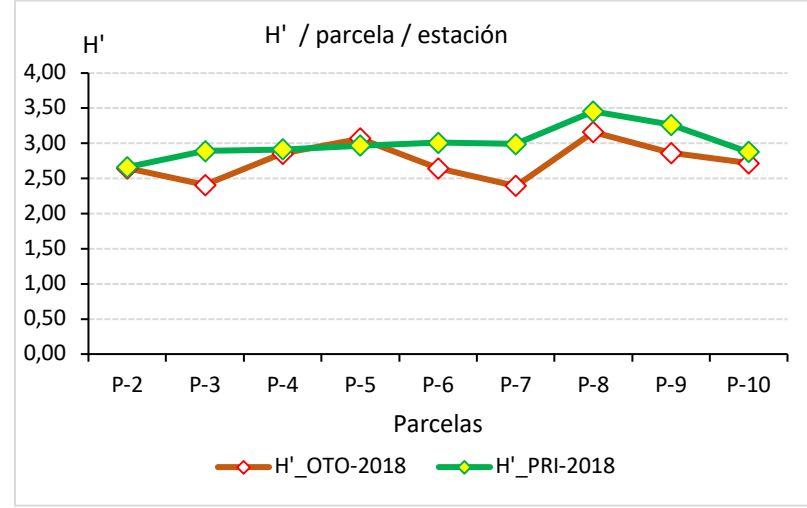


Gráfico 5: Número de especies vegetales por parcela en otoño y primavera del

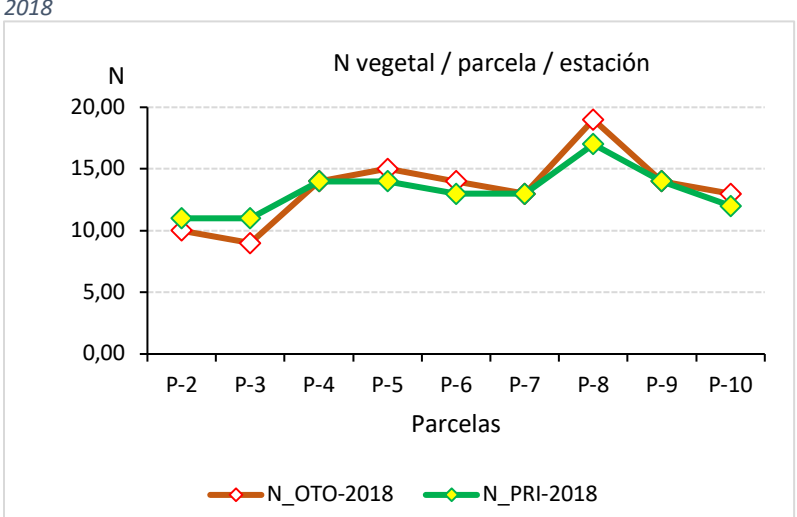
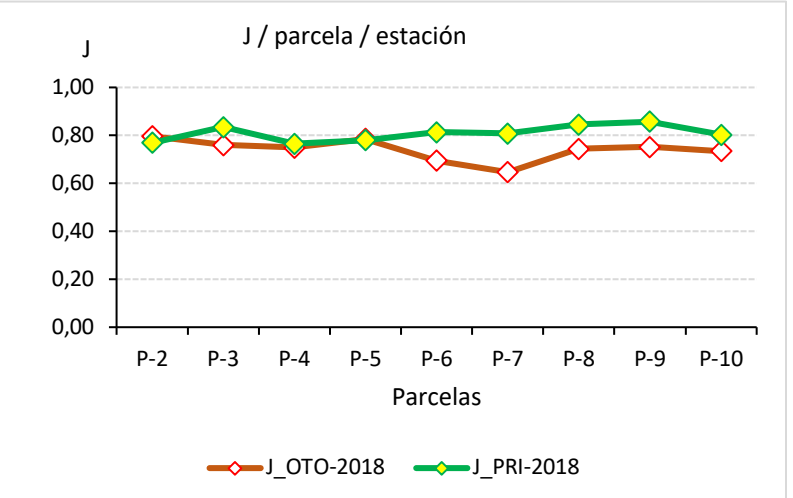


Gráfico 7: Índice J por parcela durante otoño y primavera 2018



1.5 CONCLUSIÓN

El seguimiento sistemático efectuado al LVLS no sólo ha demostrado un fuerte incremento

de la cobertura vegetal del laboratorio, traducido en un aumento del 47% respecto del período

anterior, sino que este se ha dado en un contexto de equidad vegetacional propio de los sistemas

silvestres. El aumento del índice de biodiversidad (H') en cada una de las parcelas -excepto P-5-

no sólo está condicionado al aumento de las coberturas vegetales de cada especie que conforman

las parcelas de muestreo, sino al crecimiento equitativo de cada una de ellas respecto del resto.

Esta es la razón por lo cual el índice de Pielou está por sobre el 75%, indicando que cada parcela

está a menos de un 25% de alcanzar la máxima equidad. Es menester precisar que resulta

imposible que una formación vegetal alcance el valor máximo del índice, debido a que en un

ecosistema las especies nunca están representadas en igual concentración, por lo tanto, valores

cercanos al 80% se consideran aceptables como expresión de optimización.

Por lo tanto, es relevante que parcelas como P-9, P-8 y P-3 presenten índices J' de: 0,86; 0,85 y

0,84 respectivamente, transformándolas en buenos modelos para ser replicados en espacios

públicos, incluso con tamaños menores, pues estudios anteriores (C&H & Donghi, 2018) indican

que a los 8m², las parcela de muestreo pueden llegar a contener el 88% de las especies. Si a esto,

se suma que P-8 y P-9 tienen especies vegetales que las diferencian (Tabla 1), las convierten en

buenos modelos, pues presenta variaciones interesantes que promueven dinámicas específicas,

similares a las que ocurren en las áreas silvestres.

La condición de equidad por sobre el 80% ha permitido desarrollar una dinámica particular que

za condicion de equidad por sobre el coss na permittad desarronar ana amanifea particular que

permite que; intrazonalmente se den condiciones que favorezcan el asentamiento de especies nativas propias del matorral esclerófilo costero mediterráneo y que no conformaban la paleta

original de especies. Tal es el caso de Oxalis rosea (Foto 25), especie nativa que requiere

condiciones estrictas de sombra, siendo característica su presencia en fondos de quebradas. Sin

embargo, su aparición en el LVLS ocurre por una condición de representatividad asociada a

especies arbustivas que proporcionan el requerimiento mínimo de iluminación, lo que da cuenta

de una identificación espontánea con el ecosistema, evento propio de las áreas silvestres la cual, a

través del trabajo realizado, permite establecer condiciones mínimas para su replicación.

Los Valores de Importancia (VI) muestran una leve variación respecto de la temporada anterior y

que tienen relación con el menor VI alcanzado por Stipa caudata, lo cual se debe a que esta

especie fue podada para facilitar un mejor desarrollo. Esto permitió disminuir su sobre

representatividad, ayudando -en cierta medida- a elevar los índices H' de cada parcela,

transformando esta técnica en una alternativa eficiente para mejorar el desarrollo de la especie y

a aumentar el índice antes mencionado.

Si bien los valores N (cantidad de especies por parcela) se vieron disminuidos en P-6, P-7 y P-

8, estos no afectaron a ninguno de los índices, debido a que este efecto está más relacionado con

eventos puntuales de proliferación y con la fenología de ciertas especies, lo que ratifica la

necesidad de continuar con este tipo de registro hasta que se evidencie una constante en algunos

de los períodos que lo componen.

La metodología desarrollada para determinar cuantitativamente el desarrollo del LVLS

pareciera ser la indicada, ya que esto no sólo ha permitido evidenciar un aumento del 61% del

índice δ , sino que además permite establecer el grado de espontaneidad con que está operando

el sistema, cuál es la agrupación y distribución espacial de aquellas especies que mejor

representan al piso "matorral esclerófilo costero mediterráneo" y que pueden ser replicado.

Al respecto cabe indicar que ciertas especies, sobre todo las fanerógamas, no pueden ser medidas

sólo a través de su cobertura en dos ejes, sino que se requiere incluir un factor que permita dar

cuenta del crecimiento vertical, para lo cual ya se tienen los registro que deberán ser

CAPÍTULO I: El vigoroso despertar

contrastados con estudios posteriores, de manera de contar con un índice de crecimiento que logre evidenciar -en un amplio espectro- el desarrollo evolutivo de la experiencia de replicación de sistemas silvestres asociados a los espacios públicos.

1.5. BIBLIOGRAFÍA

- Armesto, J. V. (1996). Ecología de los bosques nativos de Chile. Editorial Universitaria.
- Armesto, J. V. (1996). Ecología de los bosques nativos de Chile. Editorial Universitaria.
- C&H, & Donghi, S. (2018). *Informe estado de desarrollo e implementación de índice de crecimiento.* Viña del Mar: Inmobiliaria Las Salinas.
- Donghi, S. (2015). Fundamentos para incorporar las áreas silvestres como espacios urbanos. Inmobiliaria Las Salinas, Viña del Mar.
- Donghi, S. (2016). Revisión de flora vascular propuesta en Proyecto "Plan de Mejoramiento & Cultural Vegetal para calle Jorge Montt". Santiago.
- Donghi, S. (2016). Revisión de la flora vascular propuesta en el proyecto "Plan Mejoramiento & Cultura Vegetal para la Calle Jorge Montt". Santiago: Las Salinas.
- Donghi, S. (2017). Antecedentes científicos presentes en el Laboratorio Vegetal de Las Salinas. Viña del Mar.
- Elortegui, S., & Novoa, P. (2009). Orquídeas de la Región de Valparaíso. Valparaíso: Taller La Era.
- Hernández, J. (2000). *Manual de Métodos y Criterios para la Evaluación y Monitoreo de la Flora y la Vegetación*. Santiago: Facultad de Ciencias Forestales de la Universidad de Chile.
- Hinojosa, L., Pérez, M. F., Rougier, D., Villagrán, C., & Armesto, J. J. (2015). Legados históricos de la vegetación de bosques en Chile. En V. M. Orlando, *Ciencias Ecológicas 1983-2013* (págs. 123-138). Santiago: Editorial Universitaria.
- Luebert, F., & Pliscoff, P. (2006). Sinopsis bioclimática y vegetacional de Chile. Santiago: Editorial Universitaria.
- Marticorena, C. y. (1985). Catálogo de la Flora Vascular de Chile. Gayana Botánica, 42(1-2), 1-157.

- Miranda, M., Reyes, L., Mashini, D., Misleh, D., & Bettancourt, P. (2015). *Valorización de los vínculos urbanos, rurales y silvestres en la generación de instrumentos de planificación territorial integrada*. Santiago: Pontificia Universidad Católica de Chile.
- Pla, L. (2006). Biovidersidad: Interferencia basada en el índice de Shannon y la Riqueza. Interciencia.
- Pliscoff, P., & Luebert, F. (2006). Una nueva propuesta de clasificación de la vegetación de Chile y su aplicación en la evaluación del estado de conservación de los ecosistemas terrestres. Revista Ambiente y Desarrollo, 22(1), 41-45.
- Teillier, S. (2005). Nuestra Diversidad Biológica. Santiago.
- Wikum, D., & Shanholtzer G.F. (1978). Application of thr Braun-Blanquet cover-abundance scale for vegetation analysis in land development studies. *Environmental Management*, *2*, 323-329.

2. **ANEXO 1**









Foto 3: Solanum maritimum







Foto 5: Bahia ambrosioides







Foto 7: Haplopappus foliosus















Foto 11: Lobelia excelsa



Foto 12: Nolana crassulifolia



Foto 13: Polyachyrus poppigii











Foto 16: Heliotropium stenophyllum



Foto 17: Alstroemeria pelegrina







Foto 19: Cryptocarya alba







Foto 21: Frankenia salina



INF-EYP-002 - **Informe estado de desarrollo** Laboratorio Vegetal Las Salinas ANEXO 1





Foto 23: Baccharis macraei



Foto 24: Nolana pullally



Foto 25: Oxalis rosea



Imagen 1: Parcela N°2

ESPECIES VEGETALES PARCELA N°2



Imagen 2:Parcela N°3

ESPECIES VEGETALES PARCELA N°3

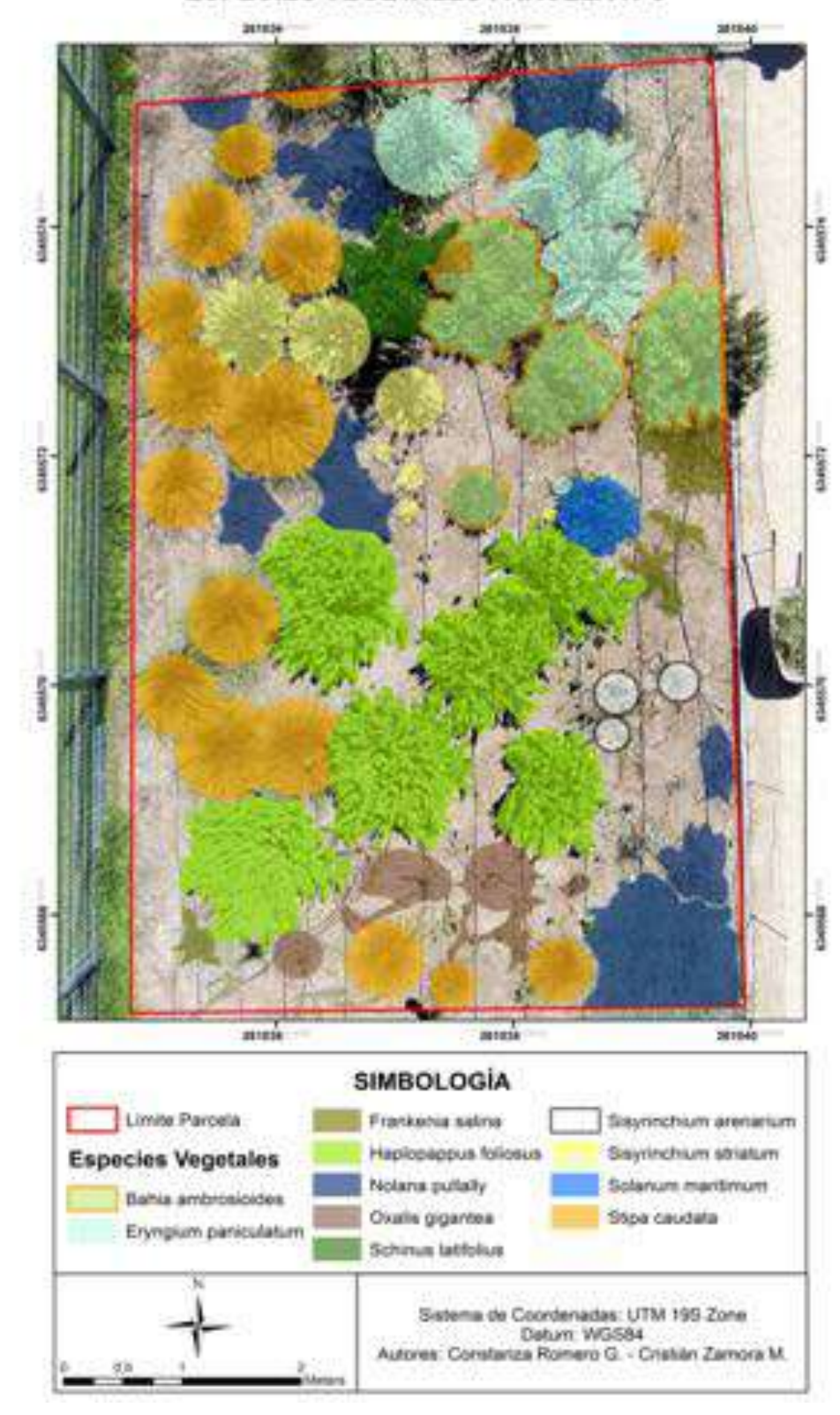


Imagen 3: Parcela N°4

ESPECIES VEGETALES PARCELA N°4



Imagen 4: Parcela N°5



Imagen 5: Parcela N°6



Imagen 6: Parcela N°7

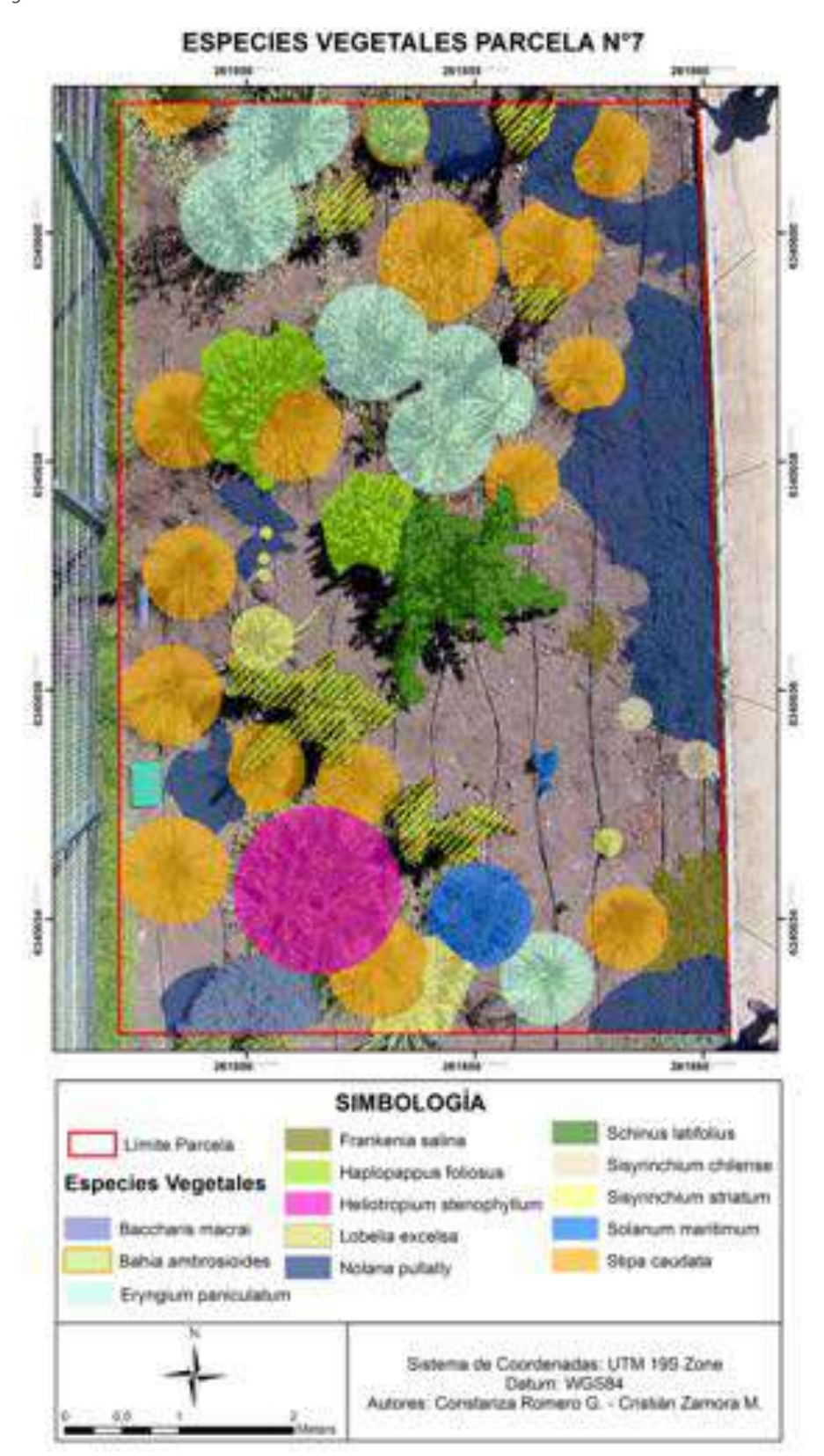


Imagen 7: Parcela N°8

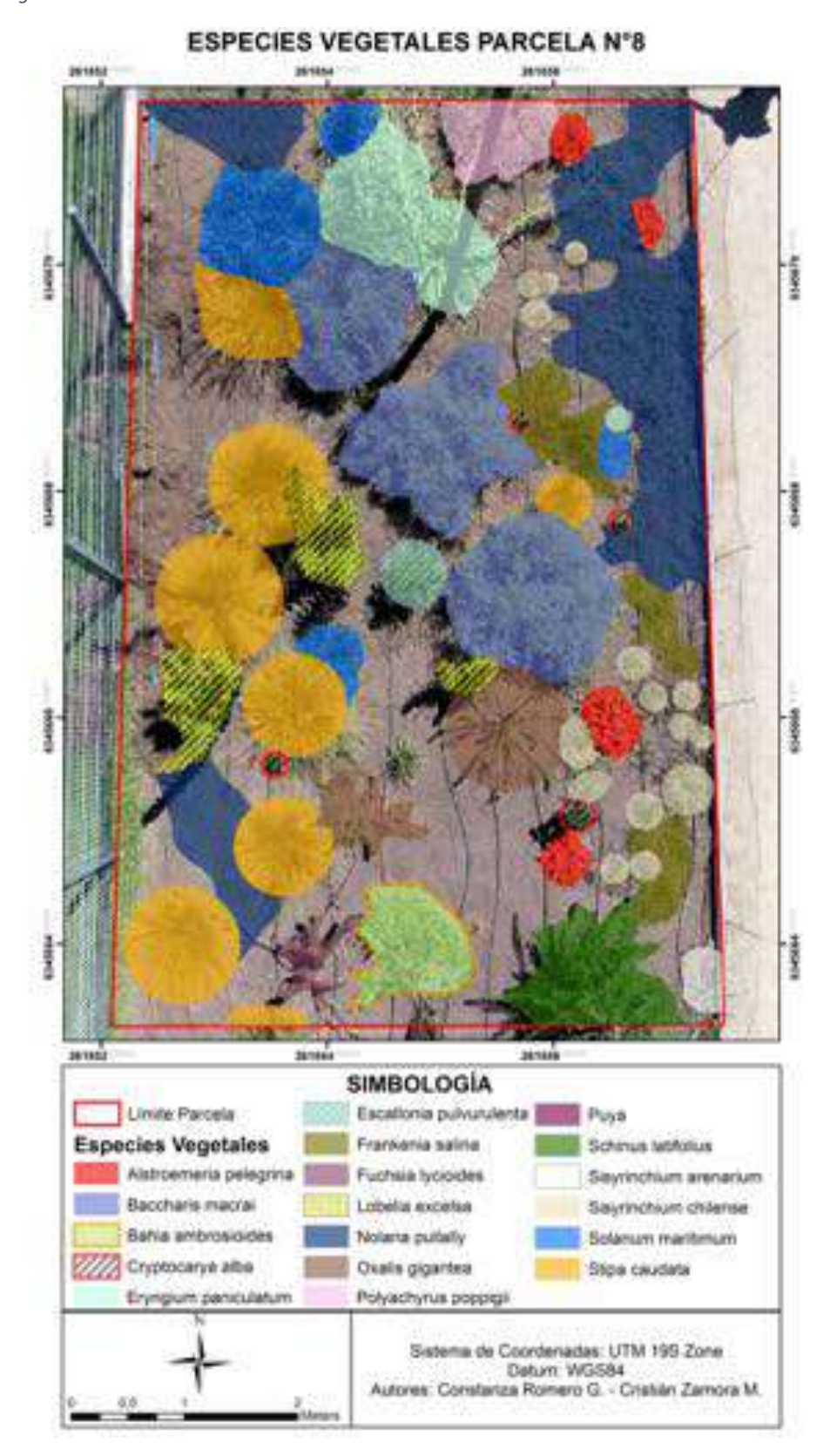


Imagen 8: Parcela N°9

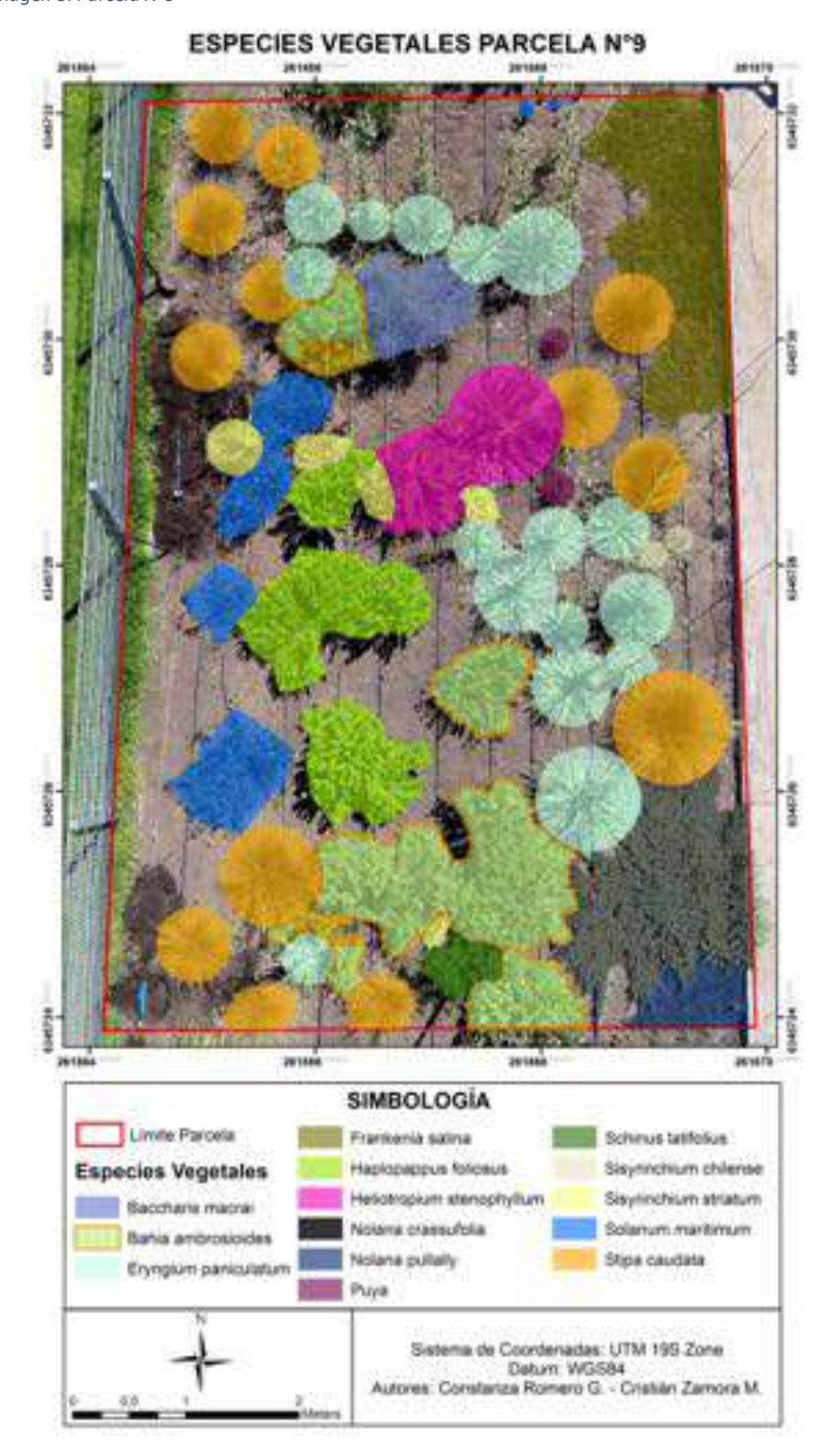


Imagen 9: Parcela N°10

